

С.С. Гиргель

УО «Гомельский государственный университет
имени Франциска Скорины», Гомель, Беларусь

**СВЕТОВЫЕ ПУЧКИ ВЕБЕРА – ГАУССА
С НЕПРЕРЫВНЫМИ КОМПЛЕКСНЫМИ ПАРАМЕТРАМИ**

Введение

В настоящее время по-прежнему актуальны поиск и исследование новых типов световых пучков [1-6]. Вместе с тем решения волнового уравнения в параболической системе координат, описывающие волновые поля Вебера [2] и пучки Вебера – Гаусса ($W-G$) (иначе: параболические гауссовы пучки) [2-5], изучены недостаточно. Поэтому в настоящей работе получены аналитические выражения в замкнутой

форме, описывающие пучки $W-G$. Установлены физические ограничения на возможные значения свободных параметров таких пучков. Проведено графическое моделирование пучков $W-G$ и показано, что комплексные значения свободного параметра a являются физически приемлемыми.

1. Нормированные пучки Вебера – Гаусса

Для монохроматических волн вида $f(\mathbf{r}, t) = f(\mathbf{r}) \exp(ik_z z - i\omega t)$ скалярное параболическое уравнение для огибающей $f(\mathbf{r})$, описывающее параксиальные световые пучки, имеет вид $(\Delta_{\perp} + 2ik_z \partial_z) f(\mathbf{r}) = 0$. Перейдем к параболической цилиндрической системе координат, производя подстановку $[x = (\eta^2 - \xi^2)/2; y = \xi\eta]$ [7, 2]. Решая затем параболическое уравнение, получим выражения для параксиальных пучков Вебера.

Поперечные картины распределения интенсивности в полученных параксиальных пучках Вебера представляют наложение системы софокусных парабол. Поэтому такие пучки называются параболическими. Эти поля, как и поля Бесселя, являются бездифракционными [1, 2, 6], так как их амплитуды в поперечной плоскости не зависят от продольной координаты z . Как и поля Бесселя, параболические поля обладают свойством самовосстановления после взаимодействия с препятствием.

Параболические пучки или, что то же самое, пучки Вебера переносят бесконечную энергию и поэтому физически не реализуемы во всём пространстве. Пучки Вебера – Гаусса ($W-G$), энергия которых конечна, проще всего получить из параксиальных пучков Вебера, применяя преобразование Аппеля [7] в форме [6] $f(x, y, q) \rightarrow G f(x/(\beta q), y/(\beta q), -1/(\beta^2 q))$, где G – гауссиан, $\beta = i/z_0$.

Чтобы уменьшить число свободных параметров и записать выражения в более общем виде, перейдем к безразмерным величинам, используя характерные продольный и поперечный линейные размеры пучка: рэлеевскую длину $z_0 = kw_0^2/2$ и размер перетяжки w_0 . Далее введём безразмерные переменные и параметры: $X = x/w_0$; $Y = y/w_0$; $Z = z/z_0$; $Q = Z - iQ_0$; $R = \sqrt{X^2 + Y^2}$.

Явные выражения в безразмерной замкнутой форме для четных и нечетных пучков $W-G$ соответственно имеют вид:

$$f_e = \frac{1}{Q} M\left(\frac{1}{4} + \frac{ia}{2}, \frac{1}{2}; \frac{K_{\perp}(R+X)}{Q}\right) \cdot M\left(\frac{1}{4} - \frac{ia}{2}, \frac{1}{2}; \frac{K_{\perp}(R-X)}{Q}\right) \exp\left[\frac{i}{Q}\left(R + \frac{iK_{\perp}}{2}\right)^2\right], \quad (1)$$

$$f_o = \frac{Y}{Q^2} M\left(\frac{3}{4} + \frac{ia}{2}, \frac{3}{2}; \frac{K_{\perp}(R+X)}{Q}\right) \cdot M\left(\frac{3}{4} - \frac{ia}{2}, \frac{3}{2}; \frac{K_{\perp}(R-X)}{Q}\right) \exp\left[\frac{i}{Q}\left(R + \frac{iK_{\perp}}{2}\right)^2\right] \quad (2)$$

Здесь K_{\perp} и a – соответственно безразмерные поперечная составляющая волнового вектора и постоянная разделения переменных. М.А. Бэндрес и др. [2] предложили использовать вещественные решения уравнения Гельмгольца в параболических координатах; такие решения представимы в виде рядов с вещественными членами. Однако явные замкнутые аналитические выражения для функций Бэндреса P_e и P_o и для пучков $W-G$ в литературе, насколько нам известно [3-5], не приводятся. Уравнения пучков $W-G$ в безразмерной форме являются функциями трех пространственных переменных (X, Y, Z) и только трех свободных параметров (K_{\perp}, a, Q_0) . Такие пучки должны быть физически реализуемыми, т.е. переносить конечную мощность. Используя подход [6] для нахождения ограничений на параметры пучков Бесселя – Гаусса, нетрудно показать, что условием конечности переносимой мощности для пучков $W-G$ является неравенство $Q_0 > 0$. При этом на параметры K_{\perp} и a не накладываются никакие ограничения – эти параметры могут быть произвольными непрерывными комплексными константами.

2. Графическое моделирование распределения интенсивности в поперечном сечении пучков Вебера-Гаусса

Пучки $W-G$ принадлежат семейству пучков Гельмгольца – Гаусса ($Hl-G$), введенных Бэндресом и др. [3]. При значении параметра $\gamma = k_{\perp} w_0 / 2 > 1$, в соответствии с [1], пучок $Hl-G$ остаётся бездифракционным до расстояния $z_{\max} = kw_0 / k_{\perp}$, а затем расходится; при этом формируется кольцеобразная картина распределения интенсивности. Произведем численные оценки различных величин, характерных для пучков $W-G$. Как и в работе [3], полагаем, что длина волны $\lambda = 0,63 \cdot 10^{-6}$ м, размер перетяжки гауссиана $w_0 \approx 2 \cdot 10^{-3}$ м. Тогда волновое число $k \approx 10^7$ м и при параметре $k_{\perp} = 10^4$ м⁻¹ имеем $z_{\max} \approx 2$ м. При использовании введенных нами безразмерных обозначений находим: $K_{\perp} \approx 20$, $\gamma = K_{\perp} / 2 \approx 10$. Безразмерное расстояние $Z_{\max} = z_{\max} / z_0 = 2 / K_{\perp}$,

до которого пучок $W-G$ всё еще сохраняет свое квазибездифракционное поведение, равно $Z_{\max} \approx 0,1$. При графическом моделировании подтверждена правильность этих оценок.

Картины распределения интенсивности могут быть самыми разнообразными – в зависимости от задаваемых параметров a , K_{\perp} и расстояния Z . Они инвариантны относительно преобразований ($a \rightarrow -a$) и ($x \rightarrow -x$) и симметричны относительно оси OX . На рисунке 1 изображены распределения интенсивности в поперечных сечениях пучков $W-G$ при $a=0$ и различных расстояниях Z в области бездифракционного распространения. Геометрические места точек, соответствующих определенным значениям интенсивности, представляют семейство софокусных парабол, которое при возрастании Z остается практически неизменным. На параболы накладывается гауссиан, поперечное сечение которого увеличивается с увеличением Z .

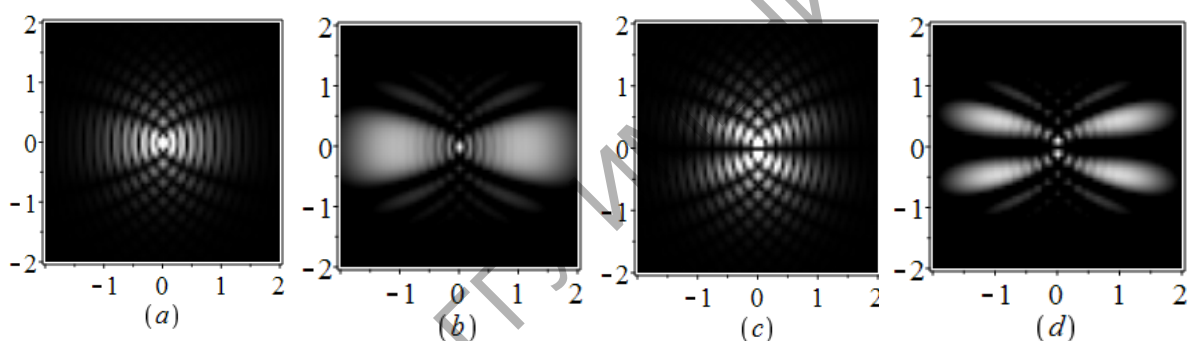


Рисунок 1 – Распределение интенсивности I_e четных и I_o нечетных пучков $W-G$ (a): $I_e, a=0, Z=0$; (b): $I_e, a=0, Z=0,06$; (c): $I_o, a=0, Z=0$. (d): $I_o, a=0, Z=0,12$

До настоящего времени параметры a предполагались только вещественными [3-5]. Однако они могут быть и комплексными. Пучки $W-G$ при комплексных a до настоящего времени не изучались. Тем не менее, они обладают свойствами, представляющими практический интерес. Например, при $a = i/2$ четный пучок $W-G$ редуцируется к децентрированному (смещенному) гауссову пучку. Анализируя иллюстрации, представленные на рисунке 2, где изображены картины распределения интенсивности I_o четных и I_e нечетных пучков $W-G$ при чисто мнимых значениях параметра a , убеждаемся в правильности этого утверждения.

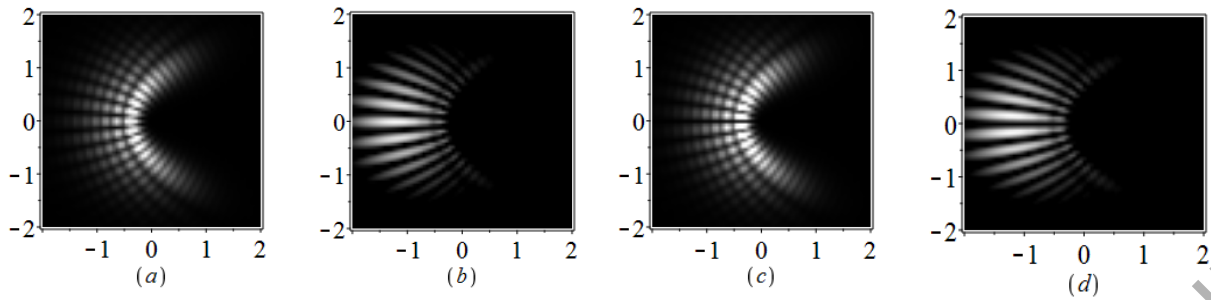


Рисунок 2 – Распределение интенсивности I_e четных и I_o нечетных пучков $W-G$ при чисто мнимых значениях параметра a
 (a): $I_e, a = i/2, Z = 0$; (b): $I_e, a = i/2, Z = 0,06$; (c): $I_o, a = i/2, Z = 0$;
 (d): $I_o, a = i/2, Z = 0,06$

На рисунке 2 видно, что с увеличением расстояния Z в области бездифракционности для пучков обоих типов форма парабол остается практически неизменной, а гауссово пятно смещается влево вдоль оси OX .

На рисунке 3 иллюстрированы распределения интенсивности I_o четных и I_e нечетных пучков $W-G$ при комплексном параметре a .

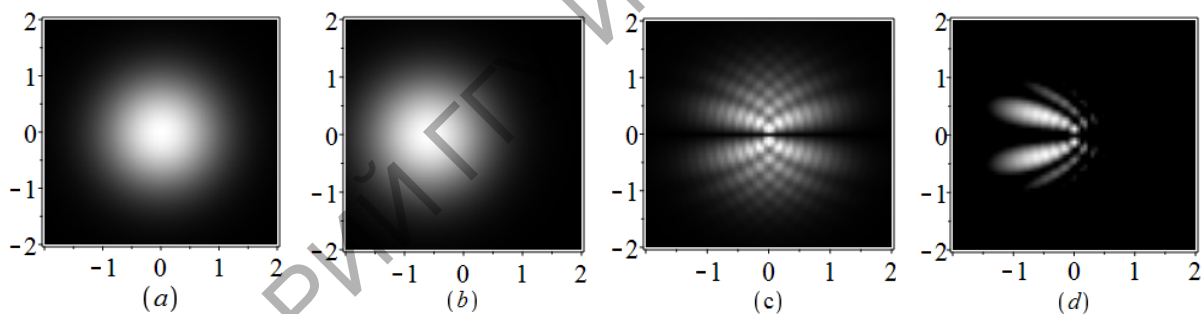


Рисунок 3 – Картины интенсивности I_e четных и I_o нечетных пучков $W-G$ при комплексных значениях параметра a . (a): $I_e, a = i/2 + 6, Z = 0$;
 (b): $I_e, a = i/2 + 6, Z = 0,12$; (c): $I_o, a = i/2, Z = 0$; (d): $I_o, a = i/2, Z = 0,12$

Видно, что с увеличением расстояния Z в области бездифракционности пучков форма парабол остается практически неизменной, а гауссово пятно смещается влево вдоль оси OX , как и в случае пучков, характеризующихся чисто мнимым значением параметра a .

Заключение

В статье получены явные выражения пучков $W-G$ в безразмерной замкнутой форме. Показано, что свойства пучков $W-G$ зависят от трех

пространственных переменных (X, Y, Z) и только от трех свободных параметров (K_{\perp}, a, Q_0) . Установлено условие конечности переносимой мощности этих пучков: $Q_0 > 0$. При этом на параметры K_{\perp} и a не накладывается никаких ограничений; эти параметры могут быть произвольными непрерывными комплексными константами, что подтверждено в результате анализа распределения интенсивности, построенного при графическом моделировании его для пучков $W-G$ с различными значениями свободного параметра a (включая комплексные).

Варьируя комплексные свободные параметры a и K_{\perp} таких пучков, можно создавать и исследовать пучки с заданными свойствами, целесообразными для конкретных практических приложений.

Литература

1. Gori, F. Bessel-Gaussian beams / F. Gori, G. Guattari, C. Padovani // Opt. Commun. – 1987. – Vol. 64. – P. 491–495.
2. Bandres, M.A. Parabolic nondiffracting optical wave fields / M.A. Bandres, J.C. Gutierrez-Vega, S. Chavez-Cedra // Optics Letters. – 2004. – Vol. 29, Issue 1. – P. 44–46.
3. Gutierrez-Vega, Julio C. Helmholtz-Gauss waves / C. Julio Gutierrez-Vega and Miguel A. Bandres. // J. Opt. Soc. Am. A. – 2005. – Vol. 25, № 2. – P. 289–298.
4. Rodriguez-Lara, B. M. Dynamical constants of structured photons with parabolic-cylindrical symmetry / B. M. Rodriguez-Lara and R. Jauregui // Phys. Rev. A. – 2009. – Vol. 79, №5. – P.055806(4).
5. Rodriguez-Lara, B. M. Normalization of optical Weber waves and Weber-Gauss beams / B. M. Rodriguez-Lara // JOSA A. – 2010. – Vol. 27, № 2. – P. 327–332.
6. Гиргель, С.С. Обобщенные пучки Бесселя-Гаусса непрерывного порядка / С.С. Гиргель // Проблемы физики, математики и техники. – 2015. – № 4 (25). – С. 11–15.
7. Миллер, У. Симметрия и разделение переменных / У. Миллер. – М.: Мир, 1981. – 342 с.
8. Абрамовиц, М. Справочник по специальным функциям / М. Абрамовиц, И. Стиган. – М.: Наука, 1979. – 830 с.